

669,162,263 669,162,275,3

が可能である。

(2) 高圧操業によつてコークス比は低下するが、その低下の度合いは炉内ガス速度とほぼ比例する。したがつてコークス比の低下の度合いは操業率によつて変わる。

(3) 高圧高炉によれば、経済情勢に応じてきわめて多様な操業を行なうことができる。

669,162,212:669,162,264,4

### (19) 鶴見第1高炉々内状況の調査

日本钢管、鶴見製鐵所 No. 64181

長谷川友博・根本秀太郎・田中 和夫  
阪本 英一・黒田 浩一・○中谷源治

Investigation into the Inner Side of the Blast Furnace No. 1 at Tsurumi Works.

Tomohiro HASEGAWA, Hidetarō NEMOTO,  
Kazuo TANAKA, Eichi SAKAMOTO,  
Koichi KURODA and Genji NAKATANI.

### I. 緒 言 PP 1601~1604

鶴見第1高炉(内容積 1143m<sup>3</sup>)は、経済界の不況により大巾減産を実施後、立上り期において、棚つりを頻発し長期的炉況不安定におち入つたが、この原因として、長期間の減産操業により炉内ガスパスが変化したこととも考えられ、38年10月以来、シャフト10カ所に測定口を開口し、炉内ガス成分、圧力、壁付の調査を行なうとともに、操業面においては、(i)軽操業の実施、(ii)焼結鉱の篩分、(iii)整粒鉱の増配合、(iv)低塩基度操業、(v)重油吹込み量の減少ないし停止、(vi)一部シャフト冷却函の給水停止などの対策をとつた結果、炉況は39年4月より好転しつつある。本報は炉況の好転した前後で、上記調査項目にあらわれた変化を検討したものである。

### II. 測 定 方 法

測定口は、シャフト部に9カ所、炉腹に1カ所、計10カ所である。この測定口から奥に詰つた付着物を酸素で穿孔し炉内まで貫通させた後、丸棒で壁厚を測定し、内部から噴出するガスの採取および圧力測定を行なつた。

### III. 測定結果および考察

#### 1. 炉壁温度とシャフト壁付

シャフト炉壁温度は、Fig. 1 のように、減産態勢の強化された37年9月以降、下段、中段が下降し回復しないまま現在に到つている。Fig. 2 に38年10月以降のシャフト壁付状況の推移を示す。図中の数値は火入れ時の煉瓦プロフィルを基準とし、壁付を+、損耗を-で示す。当初、上段で 50~100mm、切立部で 200mm 程度の損耗、中段で 200~400mm の壁付が見られたが、炉況の好転した39年4月以降、後者は消滅した。ただし、シャフト中段炉壁温度は変化していない。

#### 2. 炉内ガス圧分布曲線

Fig. 3 は、シャフト各レベルのガス圧  $P$  と風量  $V$  の比  $P/V$  を順次結んだ曲線であり、炉況安定時(39年4月実線39年3月以前、一点鎖線)、棚つり時(点線)に層別し、それぞれ典型的な例が示してある。各例とも 6

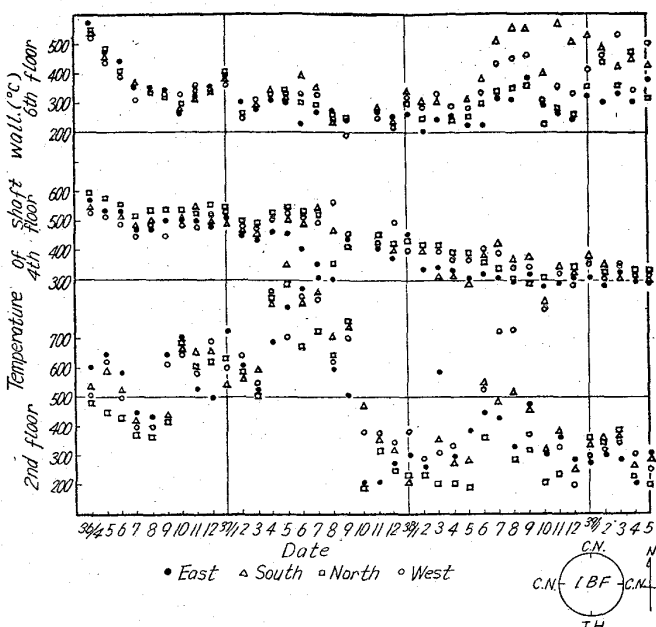


Fig. 1. Transition of temperature of shaft wall.

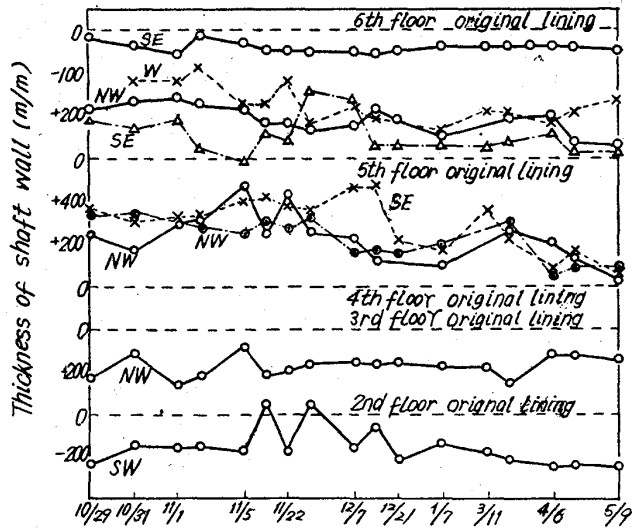


Fig. 2. Transition of shaft profile.

床～5床にかけての圧力勾配が大きくなっている。棚つり時には、装入面が下つているため6床での圧力降下は少ないが、6床～4床で大きくあらわれている。炉況の好転した39年4月以降の例では、シャフトでの圧力降下が少なくなつておりむしろ朝顔での圧力降下があらわれている。この現象からシャフト壁付との対応、棚つり位置の推定を行なうのは今後の課題である。

#### 3. 炉内ガス CO<sub>2</sub>

Fig. 4 は、炉周部の CO<sub>2</sub> を(2)項の層別法にしたがつて示したものである。これによると、棚つり時には4床～5床での CO<sub>2</sub> が低下しているが、炉況が回復すると多少上昇している。一方、39年4月以降のパターンは、CO<sub>2</sub> がさらに上昇している。LOGINOV<sup>1)</sup>らのソ連における一連の研究から炉内ガスは高炉断面で一様でなく、炉芯部および周壁部では低くその中間で高いことおよび CO<sub>2</sub> の高い部分で還元が十分進行していることが明らかにされている。この考え方によれば、炉壁沿いの CO<sub>2</sub>

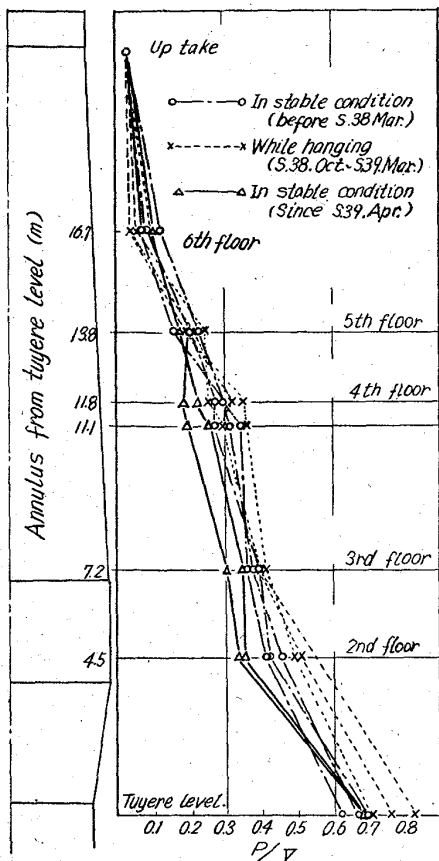


Fig. 3. Typical pattern of  $P/V$  against shaft height.

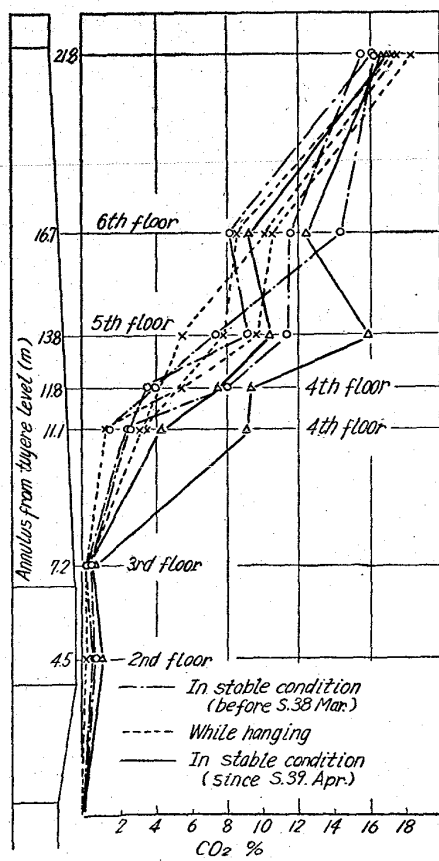


Fig. 4. Carbon dioxide content at the periphery of the furnace shaft.

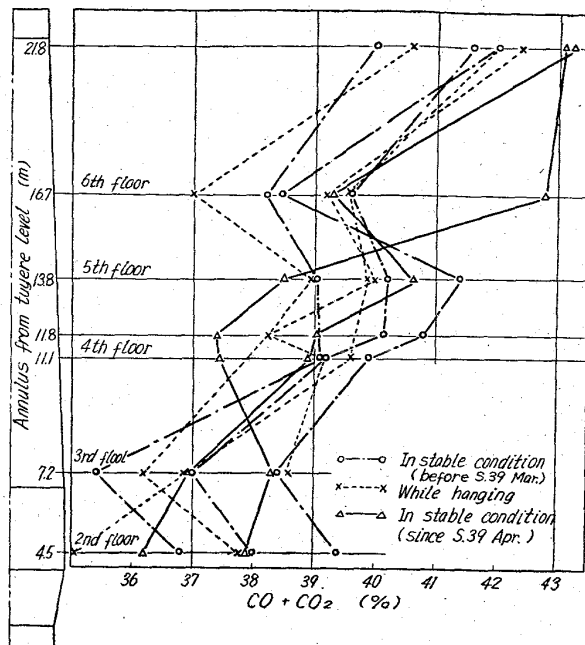


Fig. 5.  $\text{CO}+\text{CO}_2$  content at the periphery of the furnace shaft.

が高い時は高炉の炉周の反応が活発になつたものと考えられる。なお、3床以下のレベルでは、高温が支配的なため、カーボンソルーション反応が進行していることもあり、炉況と無関係にはほとんど  $\text{CO}_2$  は 0 である。

#### 4. 炉内ガス $\text{CO}+\text{CO}_2$

Fig. 5 に、炉内ガス  $\text{CO}+\text{CO}_2$  を(2)項の層別法にしたがつて示す。8例中1例を除き、6床の  $\text{CO}+\text{CO}_2$  は5床より低くなつているが、これはこの間でガスパスが変化したのか、あるいはカーボンディポジションの影響によるものとも考えられる。

#### 5. 炉頂ガス $(\text{CO})+(\text{CO}_2)$

炉況の好転した39年4月には、Fig. 5 に見られるように前月と比較しコークス比に差がないにもかかわらず、 $(\text{CO})+(\text{CO}_2)$  が 1~2% 上昇し、しかも  $\text{CO}$  の上昇が大きく与つてゐる。この時には、風量がほぼ一定でも装入回数が増加し風熱が上昇した。これは、コークス比一定の条件下で、羽口先燃焼カーボンが低下ソルーションロスが増加したものと考えられ、風熱上昇も後者に対応したものである。

コークス比 ( $M \text{ kg/t}$ ) が一定の場合、炉頂ガス  $\text{CO}+\text{CO}_2$  1% の上昇に対応する装入速度 ( $N \text{ ch/day}$ )、出銑量 ( $P \text{ t/day}$ )、風熱上昇 ( $4t^\circ\text{C}$ ) は、以下のように計算される。

$$V = (M \cdot f + C_{\text{lime}} - C_{\text{dust}} - C_{\text{pig}}) \times (100 - (\text{CO}) - (\text{CO}_2) - (\text{H}_2)) / ((\text{CO}) + (\text{CO}_2)) \times 0.01 \times 12/22 \times 4 \times 0.79 \quad (1)$$

$$P = 1440(1 - 0.001244 l) \times V' / V \quad (2)$$

$$N = \{1440(1 - 0.001244 l) \times V' / V\} / \{V \times C_{\text{base}} \times 1000 / M\} \quad (3)$$

$$M = 1/f(C_{\text{dust}} + C_{\text{pig}} + C_{\text{comb}} + C_{\text{H}_2\text{O}} + C_w + C_d + C_s) \quad (4)$$

$$C_{\text{comb}} = 1.429 \times 12/16 \times 0.21 V \quad (5)$$

$$C_{\text{H}_2\text{O}} = 12/18 \times 0.001 \times IV \quad (6)$$

ここで、

$V$ : 乾送風量 ( $\text{Nm}^3/\text{t}$ )  
 $V'$ : 計器送風量 ( $\text{Nm}^3/\text{min}$ )  
 $f$ : コークス固定  $C$  (%  $\times 1/100$ )  
 $C_{\text{base}}$ : コークスベース ( $\text{t}/\text{ch}$ )  
 $C_{\text{lime}}$ : 石灰石中  $C$  ( $\text{kg}/\text{t}$ )  
 $C_{\text{pig}}$ : 鋼鉄中  $C$  ( $\text{kg}/\text{t}$ )  
 $C_{\text{dust}}$ : ダスト中  $C$  ( $\text{kg}/\text{t}$ )  
 $C_{\text{comb}}$ : 羽口先燃焼  $C$  ( $\text{kg}/\text{t}$ )  
 $C_{\text{d}}$ :  $S_i$ ,  $M_n$ ,  $P$ 還元用  $C$  ( $\text{kg}/\text{t}$ )  
 $C_w$ : 結晶水分解  $C$  ( $\text{kg}/\text{t}$ )

(4) 式において、 $M$ ,  $f$ ,  $C_{dust}$ ,  $C_{pig}$ ,  $C_w$ ,  $C_d$  を一定とすれば、

銑鉄トン当たりの所要熱量  $Q \text{ kcal/t}$  を一定とすれば、

$$4Q_{\text{comb}} + 4Q_{\text{wet air}} + 4Q_{\text{steam}} + 4Q_s = 0 \quad \dots (8)$$

۱۷

$4Q_{\text{comb}}$ (羽口先Cの燃焼熱の変化):

$C_{\text{cmb}} \times 2340$

$\Delta Q_{\text{wet air}}$ (熱風顯熱の変化):  $V \times \Delta t \times 0.335$

$\Delta Q_{\text{steam}}$  (湿分分解熱の変化):

$$0.001 \text{ } l \times \Delta V \times 1550$$

$\Delta Q_s$  (ソルーションロス熱):  $3240 \times \Delta C_s$

(1)～(8) に,  $M=575$ ,  $f=90$ ,  $C_{lime}=10$ ,  $C_{dust}=3$ ,  $C_{pig}=48$ ,  $C_w=9$ ,  $V=1500$ ,  $CO+CO_2=42$ ,  $H_2=2.5$ ,  $C_{base} 6.540$  を代入し計算すると,  $CO+CO_2 1\%$  の上昇に対し, 装入回数が 4ch/day 増加し, 風熱は  $150^{\circ}C$  上昇する.

Table 1. Operational data and material balance.

Items	Date	Period				Stable condition (S. 37. Apr.)			Irregular condition (S. 39. Mar.)			Stable condition (S. 39. Apr.)			
		11~15	16~20	21~25	26~30	11~15	16~20	21~25	1~5	6~10	11~15	16~20			
Production	t/day	1571	1539	1567	1515	1209	1324	1337	1332	1386	1286	1407			
Coke ratio*	kg/t	598	571	576	578	609	585	584	580	575	601	592			
Charge number	ch/day	143	135	140	140	114	120	121	119	124	119	128			
Coke base	kg/ch	6700	6700	6640	6660	6600	6600	6600	6600	6600	6600	6600			
Ore base	kg/ch	17350	17630	17830	17900	17200	17800	18100	18000	18000	18000	18000			
Blast volume	Nm <sup>3</sup> /min	1598	1544	1579	1571	1426	1504	1500	1430	1472	1433	1501			
Blast temperature	°C	888	868	894	876	653	717	773	867	891	819	855			
Blast moisture	g/Nm <sup>3</sup>	35	34	34	36	30	30	30	30	30	30	30			
Lime stone	kg/t	78	82	87	90	75	82	84	107	114	109	108			
Top gas analysis %	CO	25.8	25.5	25.2	25.3	24.0	24.1	24.1	24.9	25.5	25.2	25.5			
	CO <sub>2</sub>	16.8	17.3	17.4	17.4	17.0	17.6	17.7	17.1	17.5	17.0	17.1			
	CO+CO <sub>2</sub>	42.6	42.8	42.6	42.7	41.0	41.7	41.8	42.0	43.0	42.2	42.6			
	H <sub>2</sub>	2.4	2.6	2.5	2.5	2.5	2.4	2.5	2.6	2.7	3.1	2.9			
Modified charge number**	ch/day	137	134	134	135	120	120	121	124	126	125	128			
Combustion C at tuyere	kg/t	342	322	326	326	374	346	344	337	326	345	332			
Solution loss	kg/t	96	96	92	94	78	85	86	86	94	97	104			
Total input heat (×10 <sup>3</sup> )	Kcal/t	1378	1286	1325	1317	1339	1281	1307	1330	1291	1328	1350			

\* Oil injection was not carried out in these periods.

\*\* Corrected for differences in Blast volume (1500 Nm<sup>3</sup>/min) and Coke base (6600 t/ch).

この間の関係を計算し実績との対比を行なつたが比較的一致している。

上述の結果から今後もこのような炉内状況の調査を継続するつもりである。

### 文 献

- 1) V. I. LOGINOV & A. N. CHECHURO: Stal (1963), July., p. 503~506

~~669162, 263, 234; 669162, 275, 3~~

### (20) 直接還元率と炉頂ガス比との関連についての考察 No. 64182

(溶鉱炉操業の改良に関する研究—V)

住友金属工業、中央技術研究所

鹿子木立郎・工博 中谷文忠・○中村文夫

Consideration on Relations between Rate of Direct Reduction and Top Gas Ratio.

(Studies on the improvement in blast furnace practice—V) PP1605~1606

Tatsuro KANOKOGI, Dr. Fumitada NAKATANI, and Fumio NAKAMURA.

### I. 緒 言

前報<sup>1)</sup>において、従来発表されたコークス比の理論を批判し、新しいコークス比の理論を体系づけた。すなわち、溶鉱炉操業におけるコークス比(カーボン比)をXとすれば、

$$X = n(1+\gamma)(1-D.R.) \quad \dots \dots \dots (1)$$

なるマス・バランス的条件を満足しており、かつ溶鉱炉操業が可能なためには、(1)式に平衡論的条件および熱バランス的条件による制限を付す必要を明らかにした。

次のFig. 1は溶鉱炉操業が可能な必要、かつ十分条件を具備したときの炭素比曲面を示すものである。

溶鉱炉操業の各操業点はこの炭素比曲面上において移動しうる訳であつて、もし操業諸元が変化し、直接還元率(D.R.)または炉頂ガス比( $\gamma$ )のいずれか一方、あるいは両者とも変化した場合のコークス比は操業諸元を変更しない場合に比べるとどのようになるか? これについては前報<sup>1)</sup>で、一応作図的に示したが、本報では今少し具体的な数値を示して、活用上の便益を計らんとした。

### II. 炉頂ガス比と直接還元率の

#### 炭素比におよぼす影響

溶鉱炉操業における平衡論的制限および熱バランス的制限内で、今直接還元率の微小変化  $dD.R.$  および炉頂ガス比の微小変化  $d\gamma$  を受けたときの炭素比の変化量は、

$$X = n(1+\gamma)(1-D.R.) \quad \dots \dots \dots (1) \text{ 式より}$$

$n=\text{const}$  とすると、

$$dX = \left(\frac{\partial X}{\partial \gamma}\right)_{D.R.} d\gamma + \left(\frac{\partial X}{\partial D.R.}\right)_\gamma dD.R. \quad \dots \dots \dots (2)$$

ここで  $(\partial X / \partial \gamma)$  は直接還元率一定の場合に炉頂ガス比の変化による炭素比の変化割合を示し、 $(\partial X / \partial D.R.)$  は炉頂ガス比一定の場合に直接還元率の変化による炭素比の変化する割合を示すものである。

(1) 式より、

$$\left(\frac{\partial X}{\partial \gamma}\right)_{D.R.} = n(1-D.R.) \quad \dots \dots \dots (3)$$

$$\left(\frac{\partial X}{\partial D.R.}\right)_\gamma = -n(1+\gamma) \quad \dots \dots \dots (4)$$

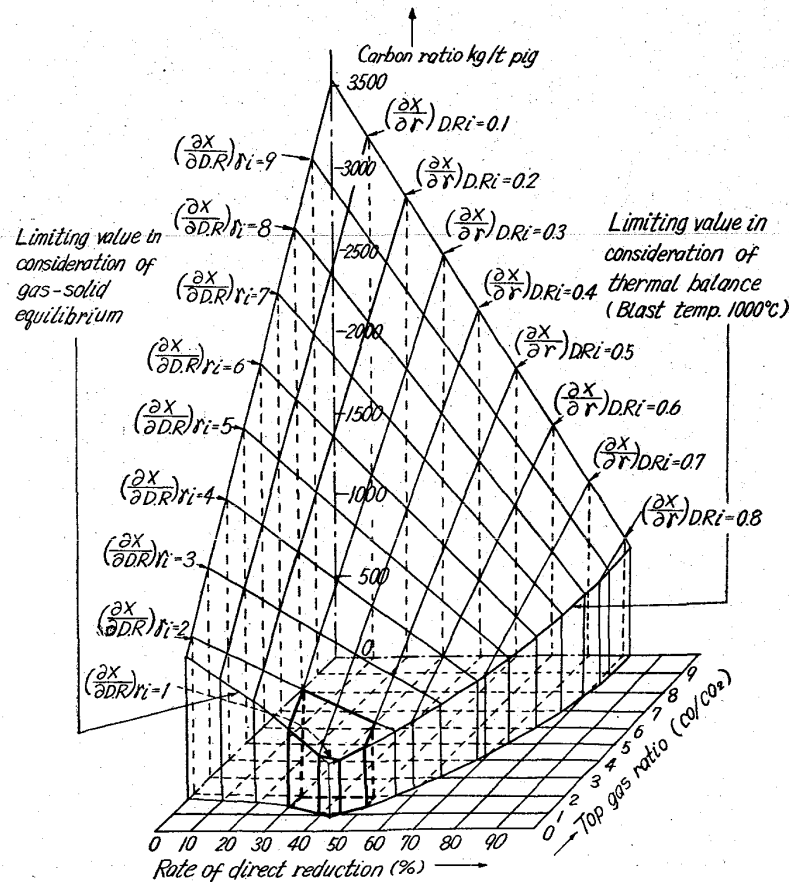
装入物が純  $Fe_2O_3$  のみと仮定すれば  $n=1.5$  ゆえ(3)、(4)式は、

$$\left(\frac{\partial X}{\partial \gamma}\right)_{D.R.} = 1.5(1-D.R.) \quad \dots \dots \dots (3)'$$

$$\left(\frac{\partial X}{\partial D.R.}\right)_\gamma = -1.5(1+\gamma) \quad \dots \dots \dots (4)'$$

溶鉱炉の実際操業上、直接還元率は  $0.3 \sim 0.5$  (30% ~ 50%) であるので、この範囲で直接還元率 2%刻みに炉頂ガス比の変化量に対する炭素比の変化量  $(\partial X / \partial \gamma)_{D.R.}$  を計算したのが Table 1 である。この計算値は kg atom Carbon/kg atom Fe なる単位で示されており、具体的な数字として理解し難い。そこで、銑鉄 1 t 中に鉄を 955 kg 含むものとし、炉頂ガス比が単位量 (0.01) 変化したときの炭素比の変化量を kg C/t-pig で示したもののが第3欄である。

Table 1 から明らかに、炉頂ガス比の変化による炭



Note: A thick line in diagram shows that the area on which ordinary blast furnace operation is performed.

Fig. 1. Diagram of carbon ratio curved surface.